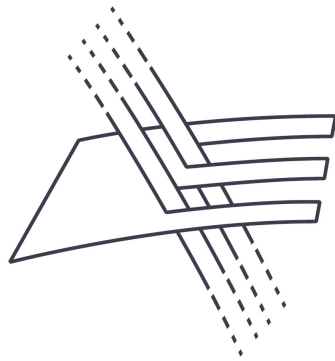


Politechnika Warszawska
Wydział Elektroniki i Technik Informacyjnych



Algorytmy i Metody Optymalizacji

Projekt 1, zestaw nr. 49

Dominika Ziółkiewicz

rok akademicki 2024/2025

Contents

1	Wstęp	2
1.1	Dane do zadania	2
1.2	Przejście na współrzędne kartezjańskie	2
2	Rozwiązanie	3
2.1	Sformułowanie układu równań opisującego szukane położenie w układzie współrzędnych kartezjańskich	3
2.2	Sformułowanie zadania optymalizacji bez ograniczeń stosując metodę najmniejszych kwadratów	3
2.3	Wyznaczenie współrzędnych położenia	3
3	Testy wpływu zmian parametrów zadania na uzyskiwane wyniki	6
3.1	Wpływ zmian punktu startowego	6
3.2	Wpływ dokładności w teście STOPu	6
3.3	Wpływ zaburzeń w danych	7
4	Znalezione położenie w Google Maps	7
5	Wnioski	9

1 Wstęp

Celem projektu jest wyznaczenie naszego położenie na kuli ziemskiej na podstawie danych na temat położenia pięciu satelitów oraz czasów propagacji pochodzących od nich sygnałów. Oprócz sformułowania i rozwiązania zadania optymalizacji, zostanie również przedstawiony wpływ zmian określonych parametrów na uzyskany wynik.

1.1 Dane do zadania

- poziom morza $h_m = 6378137\text{ m}$
- wysokość umieszczenia satelitów $h_s = 20000000\text{ m n.p.m.}$
- prędkość sygnału z satelitów $v_s = 299792458\text{ m/s}$
- dane o położeniu satelitów:

Nr	System	szerokość	długość
1	stopnie-min-sek	52°52'19.2"N	13°23'53.9"E
	stopnie dziesiętne	52.885907	13.395837
2	stopnie-min-sek	50°18'43.4"N	12°22'24.1"E
	stopnie dziesiętne	50.312052	12.373351
3	stopnie-min-sek	47°47'48.9"N	19°22'54.7"E
	stopnie dziesiętne	47.796902	19.381854
4	stopnie-min-sek	50°37'10.5"N	26°14'39.3"E
	stopnie dziesiętne	50.619584	26.244260
5	stopnie-min-sek	55°29'17.8"N	28°47'15.1"E
	stopnie dziesiętne	55.488272	28.787526

- czasy dotarcia sygnału od poszczególnych satelitów:

Nr. satelity	czas nadejścia sygnału [s]
1	6.681975504357193e-02
2	6.684736756249902e-02
3	6.676997507374220e-02
4	6.675806218267925e-02
5	6.687535792178521e-02

1.2 Przejście na współrzędne kartezjańskie

Za początek układu współrzędnych kartezjańskich przyjęto środek Ziemi. Wzory opisujące przejście z układu sferycznego do kartezjańskiego wyglądają następująco:

$$\begin{cases} x = r \cos \theta \cos \phi \\ y = r \cos \theta \sin \phi \\ z = r \sin \theta \end{cases}$$

gdzie r oznacza promień wodzący, θ szerokość geograficzną a ϕ długość geograficzną.

2 Rozwiązanie

2.1 Sformułowanie układu równań opisującego szukane położenie w układzie współrzędnych kartezjańskich

Równanie określające odległość od satelity do nas można zapisać na dwa sposoby. Z jednej strony mamy dystans od podanych współrzędnych satelitów:

$$s = \sqrt{(x - x_i)^2 + (y - y_i)^2 + (z - z_i)^2},$$

gdzie i oznacza indeks satelity (od 1 do 5), a poszukiwane współrzędne punktu na kuli Ziemskiej to x, y, z .

Z drugiej możemy go wyznaczyć na podstawie czasu propagacji sygnału i prędkości z jaką dociera do szukanego punktu:

$$s = v_s t_i$$

W ten sposób otrzymano układ równań, na podstawie którego można sformułować zadanie optymalizacji.

2.2 Sformułowanie zadania optymalizacji bez ograniczeń stosując metodę najmniejszych kwadratów

Mając dwie postacie wzorów na odległość s , można obie podnieść do kwadratu i odjąć stronami uzyskując:

$$0 = (x - x_i)^2 + (y - y_i)^2 + (z - z_i)^2 - (v_s t_i)^2$$

Wykorzystując metodę najmniejszych kwadratów poszukiwane jest minimum funkcji kwadratowej:

$$\min_{x,y,z} f(x, y, z) = \sum_{i=1}^5 ((x - x_i)^2 + (y - y_i)^2 + (z - z_i)^2 - (v_s t_i)^2)^2$$

2.3 Wyznaczenie współrzędnych położenia

(a) Za pomocą programu Matlab

Wyznaczenie położenia odbyło się przy pomocy funkcji `lsqnonlin` z *Optimization Toolbox*. Korzystając z metody *Levenberg'a - Marquardt'a* uzyskano współrzędne X, Y, Z szukanego położenia:

- X = 3719945.14681953 m
- Y = 1439160.63345815 m
- Z = 4977343.05407747 m

Kod z programem:

```
1      clear;
2
3      hm = 6378137;
4      hs = 20000000;
5      vs = 299792458;
6
7      r = hm+hs;
8      theta = [52.885907 50.312052 47.796902 50.619584 55.488272];
9      fi = [13.395837 12.373351 19.381854 26.244260 28.787526];
10
11     global xi yi zi;
12
13     xi = r.*cos(deg2rad(theta)).*cos(deg2rad(fi));
14     yi = r.*cos(deg2rad(theta)).*sin(deg2rad(fi));
15     zi = r.*sin(deg2rad(theta));
16
17     ti = [6.681975504357193e-02 6.684736756249902e-02 6.676997507374220e-02 ...
18           6.675806218267925e-02 6.687535792178521e-02];
19
20     global vsti
21
22     vsti = vs .* ti;
23
24     x0 = [0 0 0];
25
26     OPTIONS = optimset('Algorithm', 'levenberg-marquardt', 'Jacobian', 'on');
27
28     [P, resnorm, residual, exitflag, output, lambda, Jacobian] = lsqnonlin(@FUN, x0, ...
29                                                                           [], [], OPTIONS);
30
31     x = P(1);
32     y = P(2);
33     z = P(3);
34     rn = sqrt(x^2+y^2+z^2);
35     fin = rad2deg(atan(y/x));
36     thetan = rad2deg(asin(z/rn));
37
38
39     function [k, J] = FUN(x)
40         global xi yi zi vsti;
41
42         k = (x(1) - xi).^2 + (x(2) - yi).^2 + (x(3) - zi).^2 - vsti.^2;
43         if nargout > 1
44             J = [2*x(1)-2.*xi; 2*x(2)-2.*yi; 2*x(3)-2.*zi].';
45         end
46
47     end
```

(b) Za pomocą solvera MINOS we współpracy z AMPL

Do skorzystania z solvera MINOS do rozwiązania zadania optymalizacji, posłużono się serwerem NEOS. Przyjmuje on trzy pliki w języku AMPL - z modelem, danymi oraz komendami do wywołania. Potrzebne dane do solvera, czyli w tym przypadku współrzędne kartezjańskie satelitów oraz droga wyliczona z użyciem wzoru $s = v * t$, zostały uprzednio obliczone i skopiowane z Matlaba. Otrzymane współrzędne są bardzo bliskie tym z poprzedniego podpunktu ale nie identyczne:

- $X = 3719950$ m
- $Y = 1439160$ m

- $Z = 4977340$ m

Widać, że wartości są zaokrąglone. Wartości parametrów wymagały przeskalowania, żeby otrzymać prawidłowe rozwiązanie. Kod w AMPL:

- `model.mod`:

```
1 set SATELITY;  
2 param r := 6378137;  
3 param x{SATELITY} >0;  
4 param y{SATELITY} >0;  
5 param z{SATELITY} >0;  
6 param w := 0.00001;  
7  
8 param vst{SATELITY} >0;  
9  
10 var X >= -r, <=r;  
11 var Y >= -r, <=r;  
12 var Z >= -r, <=r;  
13  
14 minimize f:  
15     sum{i in SATELITY} (w*(X-x[i])^2+w*(Y-y[i])^2+w*(Z-z[i])^2-w*(vst[i])^2) ^2 ;
```

- `dane.dat`:

```
1 set SATELITY := s1 s2 s3 s4 s5;  
2  
3 param: x y z vst :=  
4 s1 15483627.7584050 3687531.60620285 21034863.7666892 20032058.6074703  
5 s2 16453955.2570464 3609614.61613039 20298870.6659484 20040336.6323911  
6 s3 16715574.7203245 5880533.27785464 19540087.0450482 20017134.9479559  
7 s4 15010839.8760186 7400657.58739250 20388993.7241020 20013563.5530623  
8 s5 13098137.7195915 7197049.11651869 21735854.7999337 20048727.9310018 ;
```

- `cmd.run`:

```
1 solve;  
2 display X;  
3 display Y;  
4 display Z;
```

3 Testy wpływu zmian parametrów zadania na uzyskiwane wyniki

Po wyznaczeniu rozwiązania sprawdzono wpływ zmian wartości punktu startowego, dokładności w teście STOPu metody oraz zaburzeń w danych na analizowane zadanie.

3.1 Wpływ zmian punktu startowego

Nr.	punkt startowy x_0, y_0, z_0	resnorm - kwadratowa norma residuum
1	0, 0, 0	3.8642e+03
2	3e+06, 3e+06, 3e+06	0.0117
3	3.7199e+06, 1.4392e+06, 4.9773e+06	0.0078
4	3.7199e+06, -1.4392e+06, 4.9773e+06	0.0312
5	3.7199e+06, -1.4392e+06, -4.9773e+06	3.8888e+09
6	1.8599e+06, 0.7196e+06, 2.4886e+06	0.0156
7	0, 0, 6378137	0.3203
8	3.72e+07, 1.44e+07, 4.98e+07	1.7551e+25

Analizę przeprowadzono sprawdzając, dla różnych punktów startowych, wartość parametru **resnorm**. Jest to podniesiona do kwadratu norma residuum, zwracana przez funkcję `lsqnonlin` po zakończeniu optymalizacji. Dla środka układu współrzędnych kartezjańskich - (0, 0, 0), widać, że błąd jest dość duży. W próbie nr. 2 - punkt w środku Ziemi - wynik jest znacznie dokładniejszy. W próbie nr. 3 sprawdzono dokładność dla punktu startowego znajdującego się bardzo blisko szukanego rozwiązania. W tym przypadku uzyskana dokładność jest największą ze wszystkich uzyskanych na drodze testów. W kolejnych próbach pokazano, jak może zmieniać się wartość **resnorm** w zależności od lokalizacji na powierzchni Ziemi punktu startowego. W próbach nr. 4 i 5 rozważono różne ćwiartki kuli Ziemskiej. Próba nr. 6 to punkt w środku Ziemi, gdzie wartości współrzędnych są o połowę mniejsze od tych z rozwiązania. W ostatniej, nr. 8, przyjęto punkt startowy całkowicie poza kulą Ziemi i tutaj też błąd przybliżenia był największy.

3.2 Wpływ dokładności w teście STOPu

W kolejnym kroku zmierzono wpływ dokładności STOPu metody. Optymalizacja zostaje zakończona jeśli przekroczona zostaje tolerancja w wartościach funkcji (**TolFun**) lub wielkości kroku (**TolX**). Oba parametry w domyśle przyjmują wartość 1e-06. Dla punktu startowego (0, 0, 0) przedstawiono analizę w postaci poniższej tabelki:

TolFun	TolX	resnorm	liczba iteracji
1e-06	1e-06	3.8642e+03	4
1e-8	1e-8	3.8642e+03	4
1e-10	1e-10	0.0430	5
1e-12	1e-12	0.0430	5
1e-14	1e-14	0.0430	6
1e-16	1e-16	0.0039	8
1e-40	1e-40	0.0039	8

Zmniejszając wartości obu tolerancji zauważono dwie zależności. Dokładność rozwiązania jest coraz większa aż do osiągnięcia pewnej wartości maksymalnej, przy której mimo znacznego zmniejszania tolerancji, błąd przybliżenia pozostaje stały i niezerowy. W miarę kolejnych prób zmniejszania tolerancji, rosła także liczba potrzebnych iteracji algorytmu optymalizacji.

3.3 Wpływ zaburzeń w danych

W celu zmierzenia wpływu zaburzeń w danych na uzyskiwane wyniki, postanowiono przeanalizować działanie optymalizacji dla coraz mniej precyzyjnych wartości czasów t_i dotarcia sygnału z satelity, ucinając kolejne cyfry po przecinku.

Liczba uciętych miejsc po przecinku	resnorm
0	3.8642e+03
1	3.8645e+03
2	3.9261e+03
5	2.1961e+06
8	4.6371e+13
12	9.0277e+20

Jak widać, już nawet pojedyncze usunięcie wartości po przecinku, sprawia że błąd przybliżenia rośnie. W miarę usuwania kolejnych wartości staje się on coraz większy.

4 Znalezione położenie w Google Maps

Wyznaczone wartości położenia w układzie kartezjańskim następnie przeliczono z powrotem do układu "geograficznego", za pomocą następujących wzorów:

$$\begin{cases} r_n = \sqrt{X^2 + Y^2 + Z^2} \\ \theta_n = \arcsin(Z/r_n) \\ \phi_n = \arctan(Y/X) \end{cases}$$

Dzięki temu uzyskano:

$$\begin{cases} r_n = 6378332 \text{ m} = 199 \text{ m.n.p.m} \\ \theta_n = 51.2928 \text{ N} = 51^\circ 17' 34'' \text{ N} \\ \phi_n = 21.1503 \text{ E} = 21^\circ 09' 01'' \text{ E} \end{cases}$$

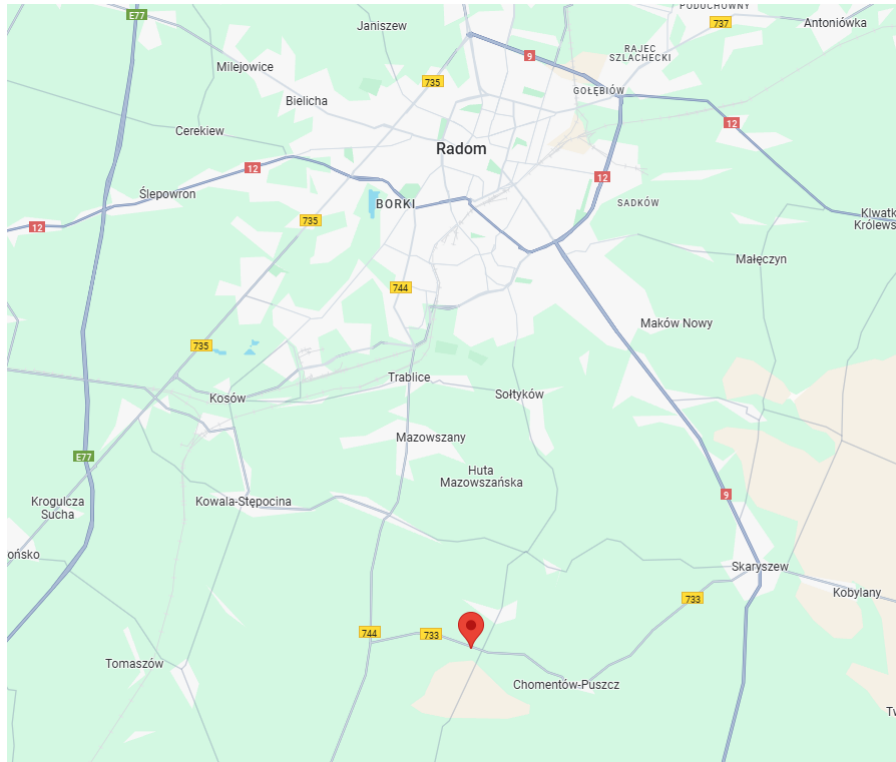


Figure 1: Zrzut ekranu - Google Maps, wyznaczona lokalizacja

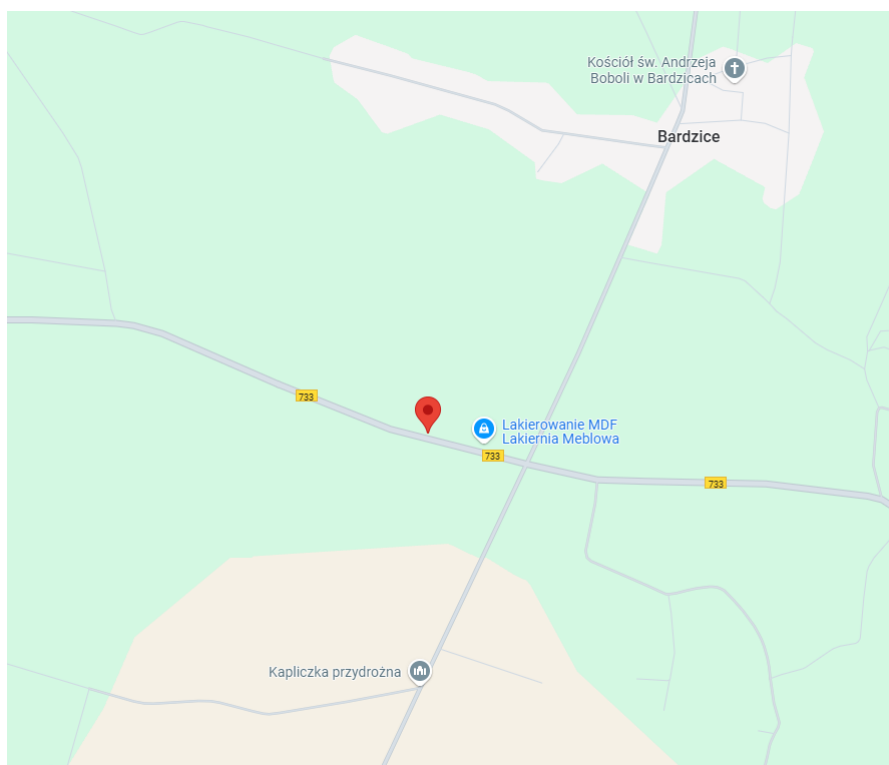


Figure 2: Zrzut ekranu - Google Maps, wyznaczona lokalizacja



Figure 3: Zrzut ekranu - Google Earth, wyznaczona lokalizacja

5 Wnioski

W powyższym sprawozdaniu zostało przedstawione sformułowanie i rozwiązanie zadania optymalizacji bez ograniczeń. Celem było wyznaczenie pozycji odbiorcy na podstawie danych o położeniu satelitów i czasów dotarcia od nich sygnałów. Do zapisania zadania wykorzystano metodę najmniejszych kwadratów. Rozwiązanie oparto o dwa różne podejścia - metodę *levenberg'a-marquardt'a* w *lsqnonlin* w Matlabie oraz solvera MINOS przy pomocy AMPL. W obu przypadkach uzyskano, w przybliżeniu, to samo rozwiązanie. W kolejnym kroku przeprowadzono analizę wpływu różnych parametrów zadania optymalizacji na uzyskiwane wyniki poprzez porównywanie błędu przybliżenia. Zauważono, że najwyższą dokładność uzyskuje się przy wybraniu punktu startowego w miarę blisko przewidywanego rozwiązania, a także gdy ustawi się wystarczająco małą tolerancję zmian w wartości funkcji oraz kroku w kryterium STOPu. Im większa dokładność danych wejściowych (mniejsze zaburzenia) tym również mniejszy błąd przybliżenia.